

**Zeitschrift:** Schweizer Ingenieur und Architekt  
**Herausgeber:** Verlags-AG der akademischen technischen Vereine  
**Band:** 97 (1979)  
**Heft:** 6: SIA, Heft 1/1979: Stahlbau/Korrosion

**Artikel:** Das Korrosionsverhalten  
**Autor:** Schwitter, Hermann / Böhni, Hans  
**DOI:** <https://doi.org/10.5169/seals-85406>

### Nutzungsbedingungen

Die ETH-Bibliothek ist die Anbieterin der digitalisierten Zeitschriften auf E-Periodica. Sie besitzt keine Urheberrechte an den Zeitschriften und ist nicht verantwortlich für deren Inhalte. Die Rechte liegen in der Regel bei den Herausgebern beziehungsweise den externen Rechteinhabern. Das Veröffentlichen von Bildern in Print- und Online-Publikationen sowie auf Social Media-Kanälen oder Webseiten ist nur mit vorheriger Genehmigung der Rechteinhaber erlaubt. [Mehr erfahren](#)

### Conditions d'utilisation

L'ETH Library est le fournisseur des revues numérisées. Elle ne détient aucun droit d'auteur sur les revues et n'est pas responsable de leur contenu. En règle générale, les droits sont détenus par les éditeurs ou les détenteurs de droits externes. La reproduction d'images dans des publications imprimées ou en ligne ainsi que sur des canaux de médias sociaux ou des sites web n'est autorisée qu'avec l'accord préalable des détenteurs des droits. [En savoir plus](#)

### Terms of use

The ETH Library is the provider of the digitised journals. It does not own any copyrights to the journals and is not responsible for their content. The rights usually lie with the publishers or the external rights holders. Publishing images in print and online publications, as well as on social media channels or websites, is only permitted with the prior consent of the rights holders. [Find out more](#)

**Download PDF:** 17.01.2026

**ETH-Bibliothek Zürich, E-Periodica, <https://www.e-periodica.ch>**

# SIA-Heft 1, 1979

## Wetterfeste Baustähle

Von Hans Böhni, Zürich

Das Bestreben, einen niedriglegierten, preisgünstigen und dennoch korrosionsbeständigen Baustahl herzustellen, führte vor mehr als 40 Jahren in den USA zur Entwicklung der *wetterfesten Stähle*. Der von der US Steel Corporation entwickelte *Cor-Ten-Stahl* ist dabei als *eigentlicher Schrittmacher* zu betrachten. Die Anwendung dieses vielversprechenden Werkstoffes beschränkte sich zunächst auf den Bau von Schienen- und Strassenfahrzeugen; erst wesentlich später, nach eingehenden Langzeitprüfungen (1940-1960), erfolgte schliesslich ihre Verwendung im Hochbau. In Europa und besonders in der Schweiz hat die Anwendung dieser Stähle auf breiterer Basis sogar noch später, d. h. erst vor ca. 10 Jahren, begonnen. Die wichtigsten Anwendungsbereiche sind bis heute Transport- und Förderanlagen, Gittermaste, Brücken, Tragskelette im Hochbau sowie Fenster und Fassaden.

Welche praktischen Erfahrungen hat man nun im Blick auf den Korrosionsschutz mit diesem Werkstoff gemacht? Unter dem Begriff «wetterfester Stahl» fasst man heute Baustähle mit geringen Legierungsgehalten an Kupfer, Chrom, Nickel und Phosphor zusammen. Auf der Oberfläche dieser Stähle sollte sich an der Atomsphäre eine beständige, korrosionshemmende Rostschicht bil-

den, so dass kein zusätzlicher Korrosionsschutz mehr notwendig ist. Die zahlreichen Schadenfälle, die inzwischen in der Schweiz und auch im Ausland an diesen Werkstoffen aufgetreten sind, lassen jedoch den berechtigten Verdacht aufkommen, dass die Bildung solcher Schutzschichten in der Praxis entweder nur teilweise erfolgt oder zumindest deren Schutzwirkung in Frage gestellt werden muss.

Ein erster Vergleich der in den USA und in Grossbritannien durchgeföhrten Langzeitversuche der 40er und 50er Jahre zeigt jedoch bereits, dass im Korrosionsverhalten der wetterfesten Stähle zwischen den verschiedenen Auslagerungsorten beachtliche Unterschiede auftreten können. Die unterschiedlichen Gewichtsverluste werden dabei meist ohne nähere Erläuterungen auf die verschiedenen Angriffsverhältnisse zurückgeführt; eingehende Untersuchungen über den *Einfluss der Bewitterung auf das Korrosionsverhalten wetterfester Stähle* sind bis heute jedoch nicht erfolgt.

Im Rahmen einer Forschungsarbeit am *Institut für Baustoffe, Werkstoffchemie und Korrosion* der ETH-Zürich wurde deshalb das Ziel gesetzt, den Einfluss der Bewitterung auf die Bildung und Schutzwirkung von Deckschichten bei wetterfesten Stählen

näher abzuklären. Die Resultate dieser Arbeit, deren wichtigste Aspekte für die Praxis im folgenden Artikel («Das Korrosionsverhalten wetterfester Baustähle») wiedergegeben sind, zeigen deutlich, dass der Bewitterung eine wesentlich bedeutendere Rolle zukommt als etwa der chemischen Zusammensetzung des Werkstoffes.

Bei der Beurteilung der Bewitterungsverhältnisse in der Praxis muss jedoch beachtet werden, dass das Korrosionsgeschehen auf einer Metallocberfläche grundsätzlich von den Angriffsmitittelverhältnissen in der unmittelbaren Umgebung der Oberfläche abhängt. Diese *mikroklimatischen Verhältnisse* werden ihrerseits nicht nur vom umgebenden *Makroklima* (z. B. Stadt-, Industrie- oder Landluft), sondern ebenso sehr auch von den *konstruktiven Gegebenheiten* her beeinflusst. Der *korrosionsgerechten Konstruktion* kommt deshalb bei der praktischen Anwendung wetterfester Baustähle eine ausschlaggebende Bedeutung zu. Ungeeignete konstruktive Massnahmen stellen denn auch eine der Hauptursachen für die vielen Schadenfälle in der Praxis dar. Die Erfahrungen, die man seit knapp 10 Jahren mit den wetterfesten Baustählen in der Schweiz gemacht hat, werden in einem weiteren Artikel («Wetterfester Baustahl - praktische Anwendung im Hochbau») aus der Sicht der *Eidg. Materialprüfungs- und Versuchsanstalt (EMPA)* näher erläutert. Er soll dem Praktiker die wichtigsten Informationen zur korrekten Anwendung des wetterfesten Baustahles vermitteln, auf die häufigsten Fehlerquellen hinweisen und Wege zu ihrer Vermeidung angeben.

### Wetterfeste Baustähle

## Das Korrosionsverhalten

Von Hermann Schwitter und Hans Böhni, Zürich

Unter dem Begriff *wetterfester Stahl* versteht man im Bauwesen *niedriglegierte Stähle*, die an der Atmosphäre ohne Korrosionsschutz verwendet werden können. Auf der Metallocberfläche dieser Werkstoffe entstehen *im Laufe der Zeit kompakte, korrosionshemmende Rostschichten*, die den fortschreitenden Korrosionsangriff wirkungsvoll vermindern. Im Gegensatz zu den nichtrostenden Stählen, die äusserst dünne, von blossem Auge nicht sichtbare Deckschichten - sogenannte Passivfilme - bilden, sind die Schutzschichten bei den wetterfesten Stählen wesentlich dicker. Die Bildung erfolgt dementsprechend auch viel langsamer. Die wetterfesten Baustähle müssen hinsichtlich ih-

res Korrosionsverhaltens an der Atmosphäre deshalb mit den unlegierten Stählen verglichen werden. Eine klare Trennung ist jedoch meist schwierig, da im Korrosionsverhalten häufig ein fliessender Übergang beobachtet werden kann. Grundsätzlich lässt sich aber

mosphäre wesentlich kleiner ist als bei unlegierten Stählen.

Verbindliche Vorschriften über die chemische Zusammensetzung der wetterfesten Baustähle existieren nicht. Die in der Schweiz im Handel erhältlichen Produkte wie z. B. *Corten*, *Coraldur*, *Intradur*, *Patinax*, *Resista* haben jedoch eine Zusammensetzung, die als charakteristisch für die wetterfesten Baustähle angesehen werden kann. Die *Richtanalyse* umfasst folgende Elemente [in Gew.%]:

C	Si	Mn	P	S	Cr	Cu	Ni
~0,15	0,1-0,4	0,2-0,5	0,05-0,12	<0,05	0,5-0,8	0,3-0,5	~0,4

sagen, dass bei den wetterfesten Baustählen infolge ihrer geringen Gehalte an bestimmten Legierungselementen der Metallabtrag in vergleichbarer At-

Der Einfluss der verschiedenen Legierungselementzusätze war schon Gegenstand zahlreicher Untersuchungen [1, 2, 3]. Vergleiche zwischen den von *Larra-*

bee et al. [4] in den USA und Edwards [5] in England durchgeföhrten Langzeitversuchen zeigen jedoch ausserdem, dass das Korrosionsverhalten nicht nur von der Zusammensetzung dieser Stähle, sondern auch vom Auslagerungsort abhängt. Vergleichbare Stähle korrodierten in Grossbritannien 5-10mal stärker als in den USA. Es muss daraus geschlossen werden, dass der Bewitterungsart eine ebensogrosse Bedeutung zukommt wie dem Legierungselementgehalt; systematische Untersuchungen über den Bewitterungseinfluss liegen jedoch nicht vor. Das Ziel der vorliegenden Studie war deshalb, den Einfluss der Bewitterungsart auf die Bildung von schützenden Deckschichten näher zu untersuchen.

Als Untersuchungsmethoden wurden Bewitterungstests, licht- und elektronenmikroskopische Untersuchungen, sowie röntgenographische und elektrochemische Messungen durchgeföhrten.

zyklus ausgesetzt. Die durchschnittliche Nasszeit stieg von 46% beim Zyklus 3× auf 77% beim Zyklus 1× an. Die Benetzung erfolgte mit einem Aerosolsprühgerät und durch Beregenen. Alle anderen Versuchsparameter wie Trocknungs temperatur, Probenvorbereitung und SO<sub>2</sub>-Gehalt wurden in dieser Untersuchung konstant gehalten.

## Resultate

### Gewichtsverluste

Eine Übersicht über die Resultate der Schnellbewitterung ist in Bild 2 dargestellt. Bei der Kupferreihe wie auch bei der Chromreihe ist der Einfluss der Bewitterung deutlich erkennbar. Die nach dem Zyklus 3× bewitterten Proben zeigen einen kleineren Korrosionsverlust und vor allem eine wesentlich geringere Korrosionsgeschwindigkeit als die

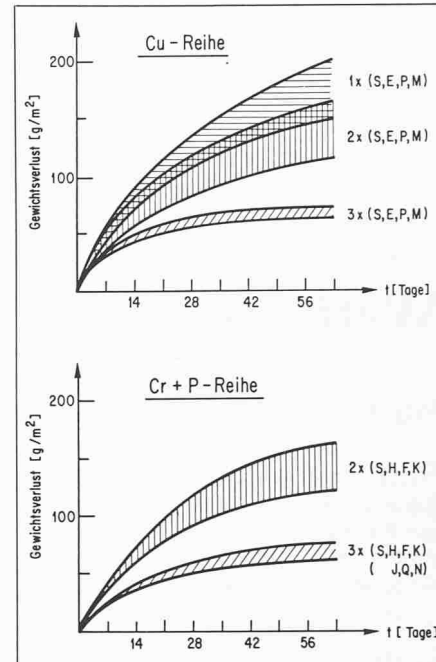


Bild 2. Resultate der Schnellbewitterungsversuche

## Versuchsdurchführung

### Material

Als Probenmaterialien wurden ein *reiner Kohlenstoffstahl* und *niedriglegierte, wetterfeste Baustähle mit variabler Zusammensetzung* verwendet. Die Analyse dieser Stähle zeigt Tabelle 1.

Die niedriglegierten Stähle besitzen alle die gleiche Grundanalyse. In drei verschiedenen Gruppen wurde aber jeweils ein Legierungselement variiert, so in der Kupferreihe (Stähle E, P, M) das Element Kupfer in den Konzentrationen 0,053%, 0,18% und 0,47%, in der Chromreihe das Element Chrom in den Konzentrationen 0,017%, 0,28% und 0,75% und in der Phosphorreihen das Phosphor in den Konzentrationen 0,014%, 0,074% und 0,101%. Alle Stähle wurden vor der Bewitterung sandgestrahlt und in Benzin entfettet.

### Bewitterung

Zu Vergleichszwecken setzte man die Proben einer 2jährigen Naturbewitterung in einem stadtnahen Gebiet und einer Schnellbewitterung im Labor aus. Bild 1 gibt eine schematische Übersicht über die durchgeföhrten Arten der Schnellbewitterung. Bei der ersten Bewitterungsart (3×) wurden die Proben in 12 Stunden dreimal benetzt und getrocknet. Innerhalb einer Woche erfolgten auf diese Weise 12 solcher 3×-Zyklen und ausserdem noch zwei zwölfstündige SO<sub>2</sub>-Auslagerungsperioden. Der SO<sub>2</sub>-Gehalt in der separaten Auslagerungsbox betrug durchschnittlich 20 ppm, die relative Luftfeuchtigkeit 85%. Beim Bewitterungstyp 2× wurden die Proben in zwölf Stunden hingegen nur zweimal, beim Bewitterungstyp 1× sogar nur einmal dem Trocken/Nass-

Stahl	C	S	Si	Mn	Cr	P	Cu	Ni
Unlegiert	0,02	0,011	0,005	0,29	0,015	0,042	0,018	0,04
Niedrig Legiert	E 0,09	0,009	0,36	0,50	0,56	0,061	0,053	0,27
	P 0,10	0,008	0,37	0,42	0,50	0,074	0,18	0,28
	M 0,11	0,010	0,34	0,49	0,54	0,081	0,47	0,30
	H 0,10	0,006	0,34	0,42	0,01	0,079	0,34	0,29
	F 0,11	0,010	0,34	0,49	0,28	0,067	0,34	0,30
	K 0,11	0,007	0,42	0,50	0,75	0,075	0,45	0,31
	J 0,10	0,007	0,36	0,45	0,54	0,014	0,44	0,31
	Q 0,11	0,011	0,39	0,50	0,51	0,074	0,41	0,30
	N 0,11	0,012	0,38	0,50	0,51	0,101	0,47	0,30

Tabelle 1. Chemische Zusammensetzung der verwendeten Stähle (Gew. Prozente)

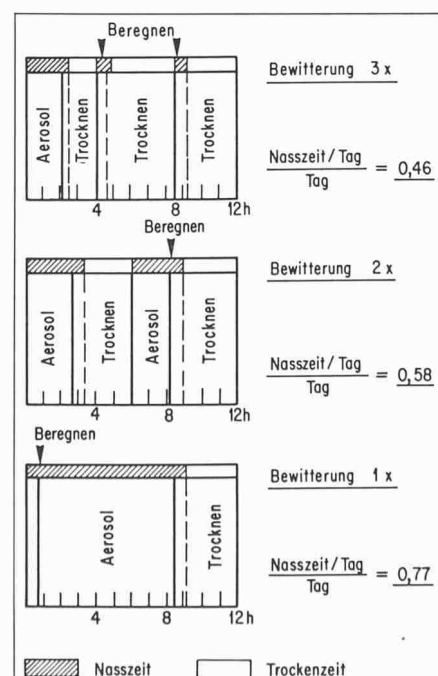


Bild 1. Schematische Übersicht über die Bewitterungstypen 3×, 2× und 1× bei der Schnellbewitterung

nach dem Typus 2× und 1× behandelten Proben. Der Unterschied bei den beiden ungünstigeren Bewitterungen ist dagegen nicht sehr gross. Erstaunlicherweise ist bei der günstigen Bewitterung der Einfluss der Legierungselemente nur schwach. Auch der unlegierte Stahl S zeigt nach 63 Tagen nur noch einen sehr kleinen Korrosionsabtrag. Etwas grösser ist der Einfluss der Legierungselemente bei den Bewitterungen nach den Typen 2× und 1×. Je stärker der Stahl mit Cu legiert ist, desto kleiner ist der Gewichtsverlust.

Die gleichen Resultate ergaben sich auch bei der Chromreihe, in der das Element Chrom variiert wurde. Für die Phosphorreihen liegen nur die Resultate der Bewitterung 3× vor, die aber die Ergebnisse der Kupfer- und Chromreihe bestätigen. Diese Resultate erlauben folgende wichtige Aussage: Bei einem häufigen Trocken/Nass-Wechsel, wie es bei der Bewitterung 3× der Fall ist, tritt ein günstiges Korrosionsverhalten auf. Nach einer anfänglich hohen Korrosionsgeschwindigkeit korrodieren die

nach dieser Art bewitterten Proben nach kurzer Zeit nur noch schwach. Dabei ist dieses Verhalten beinahe unabhängig vom Legierungselementgehalt. Auch beim unlegierten Stahl S kommt die Korrosion nach einer gewissen Zeit praktisch zum Stillstand.

Bei der Bewitterung mit längeren Nassperioden (Typ 2x und 1x) tritt nach der untersuchten Zeitperiode keine so starke Abnahme der Korrosionsgeschwindigkeit ein. Der absolute Metallabtrag ist zudem doppelt bis dreimal so hoch. Obwohl der Einfluss der Legierungselemente bei diesen Bewitterungstypen grösser ist, kann der erhöhte Korrosionsverlust bzw. die grössere Korrosionsgeschwindigkeit hier nicht allein auf das Fehlen von Legierungselementen zurückgeführt werden. Auch die am stärksten legierten Proben M und K zeigen bei dieser Bewitterung ein wesentlich schlechteres Verhalten.

Dass die kleinere Korrosionsgeschwindigkeit beim Bewitterungzyklus 3x nicht durch die kürzere Gesamtnasszeit hervorgerufen wird, zeigt Bild 3. Hier

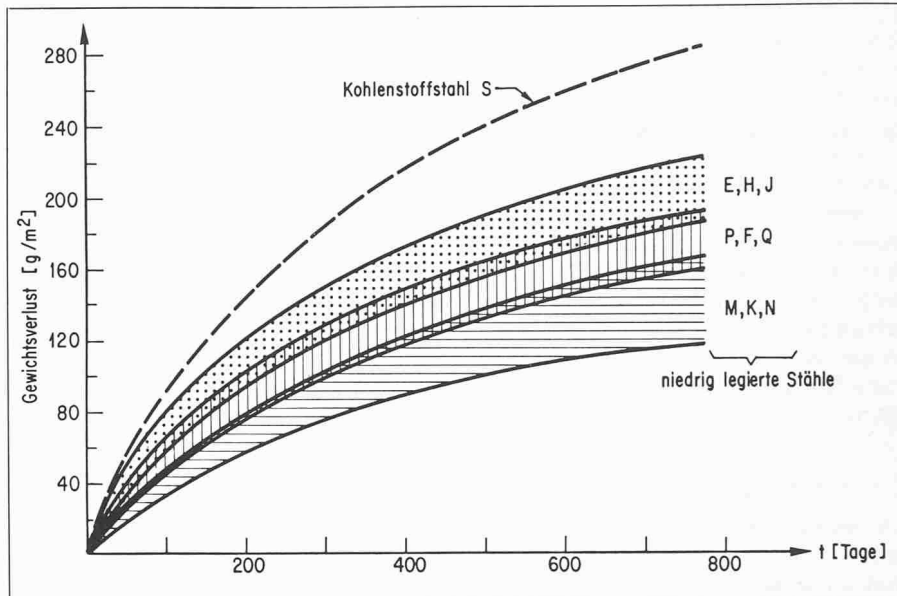


Bild 4. Resultate der Naturbewitterungstests

auf eine vollständig schützende Schicht hinweist.

#### Metallographische Untersuchungen

Zur Beschreibung der weiteren durchgeföhrten Untersuchungen werden nur noch die Resultate des Kohlenstoffstahles S und des am stärksten mit Kupfer legierten Stahles M aufgeführt, obwohl die Resultate für die anderen Stähle auch vorliegen. Ebenso wird die Bewitterung 2x nicht weiter erwähnt, weil die Resultate ähnlich sind wie bei der Bewitterung 1x. Makroskopisch betrachtet, weisen die verschiedenen bewitterten Proben unterschiedliche Oberflächen auf. Die günstig bewitterten Proben (Typus 3x) zeigen eine relativ dunkle, homogen wirkende Oberfläche. Von

die Oberfläche der an der Atmosphäre bewitterten Proben. Eine relativ hell gefärbte Rostschicht ist von grossen dunklen Rostpusteln durchsetzt. Diese haben zum Teil nur schwach auf der Rostschicht.

#### Rasterelektronenmikroskopische Untersuchungen

Bild 5 zeigt in diesem Zusammenhang mit dem REM aufgenommene Oberflächenaufnahmen der Proben M3x und S3x. Die Rostschicht ist hier sehr homogen und kompakt. Die einzelnen Unebenheiten sind sehr klein und alle etwa gleich gross. Die Oberfläche der Probe M3x ist frei von sichtbaren Rissen; auf der Probe S3x können wenige dünne Risse festgestellt werden. Weite-

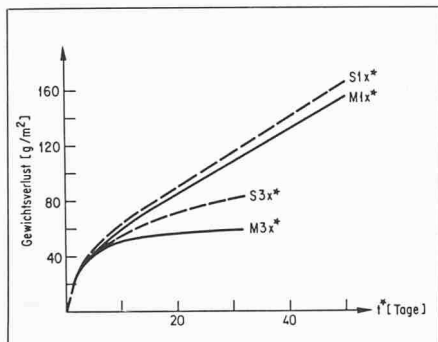


Bild 3. Gewichtsverluste bei der Schnellbewitterung; auf die wahre Nasszeit reduzierte Zeitachse ( $t^*$ )

stellt die  $x$ -Achse nicht die Bewitterungszeit, sondern die Gesamtzeit dar, während der die Proben nass sind. Auf diese Weise können die Bewitterungsarten 1x, 2x und 3x direkt miteinander verglichen werden. Interessanterweise weisen die Kurven M3x\* und S3x\* auch bei dieser Darstellung ein starkes Einbiegen auf. Obwohl die Nasszeit bei der Bewitterung 3x nur etwa ein Drittel kürzer ist, sinkt der Gewichtsverlust etwa um die Hälfte ab. Bei der Bewitterung 1x hingegen fallen die Kurven mehr oder weniger zusammen.

In Bild 4 sind die Resultate der Naturbewitterung dargestellt. Die niedriglegierten Stähle weisen dabei innerhalb einer gewissen Bandbreite ein ähnliches Verhalten auf. Die weniger legierten Stähle liegen eher im oberen, die stärker legierten eher im unteren Teil des Wertebandes. Deutlich schlechter verhält sich der unlegierte Stahl S. Interessanterweise zeigt keiner der Stähle nach einer Expositionszeit von ca. zwei Jahren eine Gewichtsverlustkurve, die

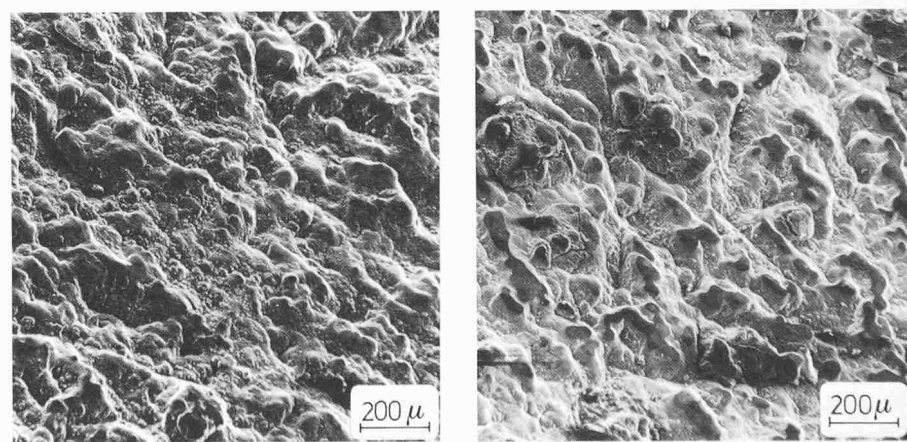


Bild 5. Rostoberfläche, Schnellbewitterung 3x, rasterelektronenmikroskopische Aufnahme

blossem Auge sind keine eigentlichen Rostpusteln sichtbar. Die Rostschicht auf den nach Typus 1x ungünstig bewitterten Proben dagegen ist heller gefärbt und erinnert stärker an die bekannte rostrote Farbe. Die Oberfläche ist zudem mit vielen grossen Pusteln überzogen. Nicht so homogen erscheint

re Unterschiede sind zwischen den beiden Proben nicht festzustellen. Im Gegensatz dazu weisen die Proben M1x und S1x (Bild 6) eine eher inhomogene Rostoberfläche auf. Neben vielen kleinen befinden sich auf diesen Proben auch grosse Rostpusteln, die stark mit Rissen durchzogen sind. Aber

auch die Rostschicht neben den grossen Rostpusteln ist mit vielen feinen Rissen durchsetzt. Zwischen den beiden Proben M1 $\times$  und S1 $\times$  sind auf der Oberfläche keine signifikanten Unterschiede vorhanden.

Die Oberflächen der naturbewitterten Proben entsprechen sowohl bei den legierten als auch bei den unlegierten Stählen eher denen der Schnellbewitterung 1 $\times$ . Auffallend sind dort die schuppenförmigen Pusteln. Die Risse in der Rostschicht konzentrieren sich vor allem auf die Umgebung dieser Pusteln.

#### Lichtmikroskopische Untersuchungen

Mit metallographischen Querschliffen untersuchte man ferner den Aufbau und die Struktur der Rostschicht. Bild 7 zeigt die Querschliffe durch die Proben M3 $\times$  und S3 $\times$ . Die Aufnahmen 7a wurden auf übliche Weise mit dem Lichtmikroskop, die Bilder 7b mit *polarisiertem Licht* und *gekreuzten Nicols* erhalten. Die Rostschicht der Probe M3 $\times$  besteht aus zwei Schichten: aus der auf der Metallocberfläche aufliegenden dunklen und der darüberliegenden hellen Schicht. Das optische Verhalten der dunklen Schicht ist isotrop. Die andere Schicht zeigt ein durch Doppelbrechung hervorgerufenes anisotropes Verhalten und weist im Mikroskop eine leuchtend orange Farbe auf. Untersuchungen mit der *Elektronenstrahlmikrosonde* ergaben außerdem, dass in der dunklen Schicht die Legierungselemente und der Schwefel angereichert sind. Mit *röntgenographischer Phasenanalyse* konnte im weiteren gezeigt werden, dass ein grosser Mengenanteil des Rostes ein röntgenamorphes Verhalten aufweist. Aus den beiden genannten Untersuchungen kann gefolgt werden, dass die dunklen Anteile im Querschliff aus dem in der Literatur beschriebenen Material, nämlich dem amorphen  $\text{FeO}_x(\text{OH})_{3-2x}$ , bestehen müssen [6].

Die Oberfläche der Probe M3 $\times$  ist zu ca. 80–90% mit der dunklen, amorphen Schicht bedeckt. Der Querschliff durch die Rostschicht der Probe S3 $\times$  zeigt für diesen Stahl einen etwas weniger geordneten Aufbau. Die helle, anisotrope Schicht ist im Verhältnis zur dunklen Schicht etwas dicker. Die Metallocberfläche ist aber auch hier zu einem grossen Teil mit der grauen Rostphase bedeckt.

Ausschnitte aus der Rostschicht der Proben M1 $\times$  und S1 $\times$  sind in Bild 8 dargestellt. Im Falle der schlechten Bewitterung 1 $\times$  ist die Rostschicht nicht so geordnet wie bei der guten Bewitterung. Die dunklen und die hell erscheinenden Rostphasen zeigen keinen klaren Schichtaufbau. Auch unmittelbar auf der Metallocberfläche können helle Rostphasen auftreten. Die Metallocber-

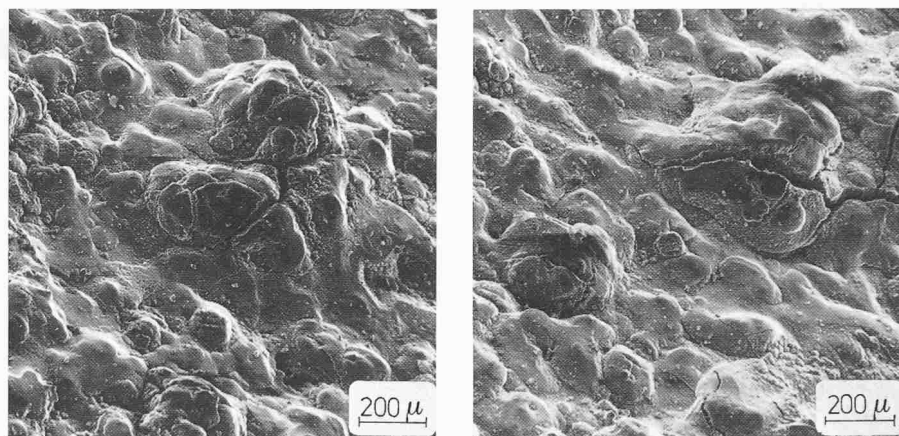


Bild 6. Rostoberfläche, Schnellbewitterung 1 $\times$ , rasterelektronenmikroskopische Aufnahme

fläche ist außerdem nur zu ca. 50–60% mit der dunklen Rostschicht bedeckt. Die Schichtdicke des Rostes ist zudem sehr unterschiedlich. Neben grossen Pusteln befinden sich Stellen, wo die Rostschicht nur sehr dünn ist. Vor allem an diesen Stellen reichen die hellen Rostphasen bis auf die Metallphase.

Bei der Präparation der metallographischen Schritte zeigte es sich, dass die hellen Phasen sehr spröde sind und leicht herausbrechen. Es muss sich dabei um ein lockeres, brüchiges Rostgefüge handeln. Die dunklen Schichten dagegen sind sehr kompakt und können ohne herauszubrechen sehr gut präpa-

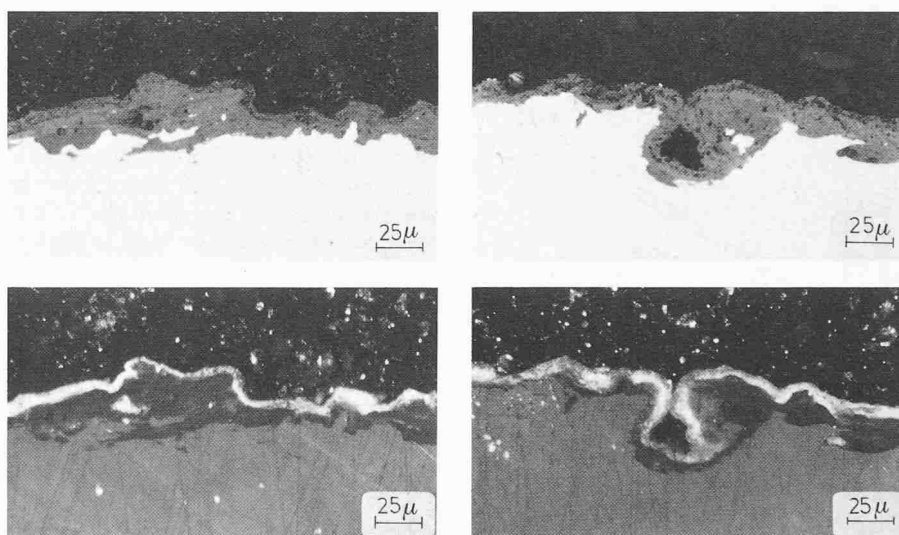


Bild 7. Querschliff durch die Rostschicht, Bewitterung 3 $\times$   
a) unpolarisiertes Licht (oben), im Text mit a bezeichnet  
b) polarisiertes Licht und gekreuzte Nicols (unten), im Text mit b bezeichnet

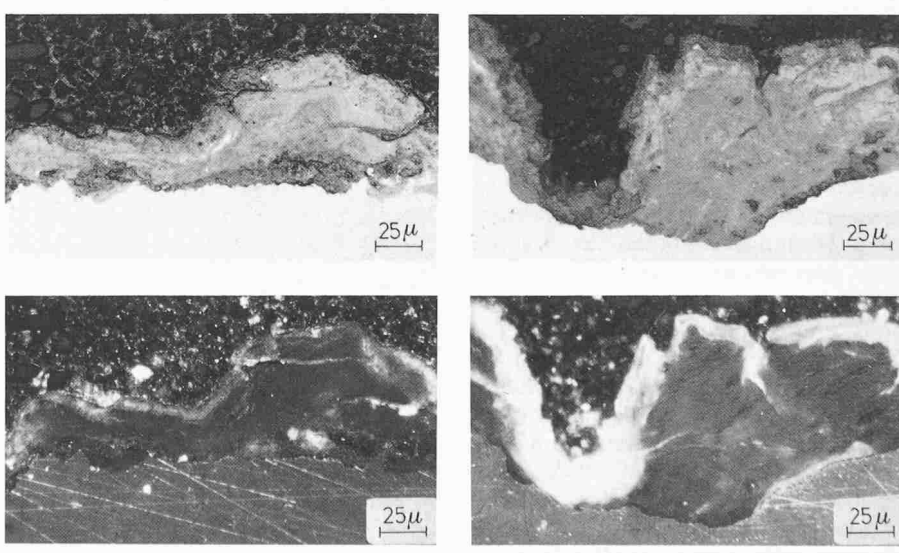


Bild 8. Querschliff durch die Rostschicht, Bewitterung 1 $\times$   
a) unpolarisiertes Licht (oben)  
b) polarisiertes Licht und gekreuzte Nicols (unten)

riert werden. Dieser Unterschied in den mechanischen Eigenschaften ist sehr deutlich und liefert einen Hinweis auf die Schutzwirkung der grauen, isotropen Schicht.

### Elektrochemische Untersuchungen

Alle elektrochemischen Versuche wurden in luftgesättigter 0,1 M  $\text{Na}_2\text{SO}_4$ -Lösung durchgeführt. Die Aufnahme der Stromdichte-Potentialkurven erfolgte mit den üblichen elektronischen Mess- und Regelgeräten (Firma Wenking). Der Potentialvorschub bei der Aufnahme der Polarisationskurve betrug 15 mV/min. Als Bezugselektrode verwendete man für alle Versuche eine in gesättigte  $\text{KCl}$ -Lösung getauchte Kalomelektrode. Die untersuchte Probenfläche betrug  $4 \text{ cm}^2$ .

#### Potentialverlauf beim Eintauchen

Die trockenen Proben wurden in den Elektrolyten eingetaucht und das Potential kontinuierlich verfolgt. Aus Bild 9 ist der Potentialverlauf der Proben M und S ersichtlich. Die Potentiale bei den nach Typus 1x bewitterten Proben fallen innerhalb weniger Minuten nach dem Eintauchen ab und erreichen schnell einen konstanten Wert. Die Proben M3x und S3x dagegen erreichen diesen Wert erst nach mehreren Stunden. Der Potentialverlauf der naturbewitterten Proben (MA und SA) liegt zwischen dem der Bewitterung 3x und 1x. Das konstante Potential, das schliesslich erreicht wird, ist für alle Versuche jedoch ungefähr gleich.

Interessant ist auch der Potentialverlauf der mit Rost bedeckten Proben, nachdem die Rostschicht mit einer Nadel angekratzt worden ist. Die gestrichelte Kurve in Bild 9 zeigt einen solchen Kurvenverlauf. Das Potential fällt sofort auf den stabilen Endwert ab.

#### Anodische Polarisation

Die Proben wurden nach 20 Minuten Eintauchen in den Elektrolyten anodisch polarisiert. Aus Bild 10 ist ersichtlich, dass die Polarisationskurven den Stromspannungskurven passivierbarer Metalle sehr ähnlich sind. Der maximale Wert der Stromdichte bei der anodischen Polarisation ist dabei umso grösser, je tiefer das Potential während der 20minütigen Eintauchzeit abfällt. Die Stromdichte im passiven Bereich erreicht bei den Proben 3x ferner einen sehr tiefen Wert, im Gegensatz zu den Proben 1x. Das Passivierungspotential liegt in allen Fällen zwischen 200 und 300 mV (SCE). Das gleiche Potential haben auch die trockenen Proben unmittelbar nach dem Eintauchen in den Elektrolyten.

Gut bewitterte Proben (M3x) weisen nach dem Eintauchen nur einen kleinen Potentialabfall und bei der anodischen Polarisation überhaupt kein Strom-

dichtemaximum auf. Der Unterschied zwischen legiertem und unlegiertem Stahl ist auch bei den elektrochemischen Messungen wiederum nur unbedeutend.

Die Resultate der elektrochemischen Versuche lassen den Schluss zu, dass die bewitterten Proben nach dem Eintauchen teilweise im passiven Zustand vorliegen. Mit der Zeit fällt jedoch das Potential zu tieferen Werten ab, und die Passivierung bricht zusammen. Um die Passivierung aufrechterhalten zu kön-

nieren der aktiven Fläche ermöglicht. Über die Menge und die Art dieses Oxidationsmittels kann aus der vorliegenden Untersuchung nichts Eindeutiges gesagt werden. Da die Legierungselemente innerhalb der einzelnen Bewitterungsarten keinen Einfluss auf die Passivierbarkeit ausüben, ist anzunehmen, dass es sich hier um einen leicht reduzierbaren Anteil des normalen Rostes handeln muss, der für die Aufrechterhaltung der Passivierung verantwortlich ist. In dieser Untersuchung konnte weder durch kathodische Reduktionskurven noch durch röntgenographische Phasenanalyse eine solche Rostphase ermittelt werden. Dies deutet im weiteren darauf hin, dass der notwendige Mengenanteil sehr klein ist und/oder die Roststruktur sich nur wenig von der Struktur der üblichen Rostphase unterscheidet.

Passivierungsversuche mit künstlich verletzten Rostoberflächen haben gezeigt, dass die kritische Stromdichte für die Passivierung umso grösser ist, je grösser die blanke Metallocberfläche ist. Umgekehrt kann aus diesem Versuch geschlossen werden, dass für eine konstante Oxidationsmittelmenge im Rost die Passivität umso länger aufrechterhalten werden kann, je kleiner die aktive, korrodierende Probenfläche ist.

Wie die metallgraphischen Untersuchungen zeigen, ist die Rostoberfläche der nach Typus 1x bewitterten Proben von zahlreichen Rissen und Unregelmässigkeiten durchzogen. Im Gegensatz dazu weist bei der Bewitterung 3x der Rost beinahe keine Risse auf, und die Metallocberfläche ist zum grössten Teil mit der dunklen, kompakten Rost-

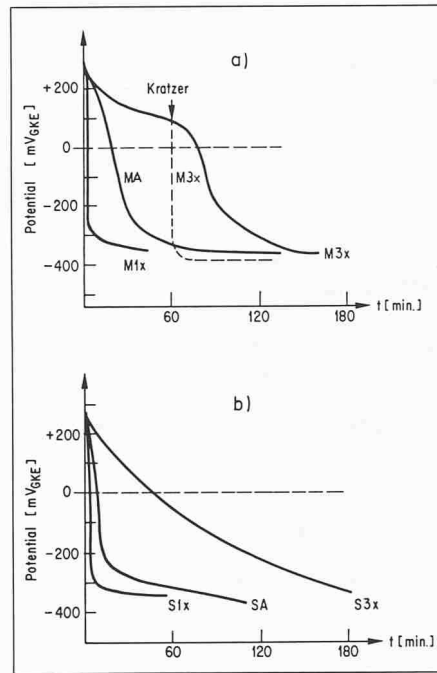


Bild 9. Potentialabfall nach dem Eintauchen der Proben in 0,1 M  $\text{Na}_2\text{SO}_4$ -Lösung  
a) wetterfester Stahl M  
b) unlegierter Stahl S (vgl. Text)

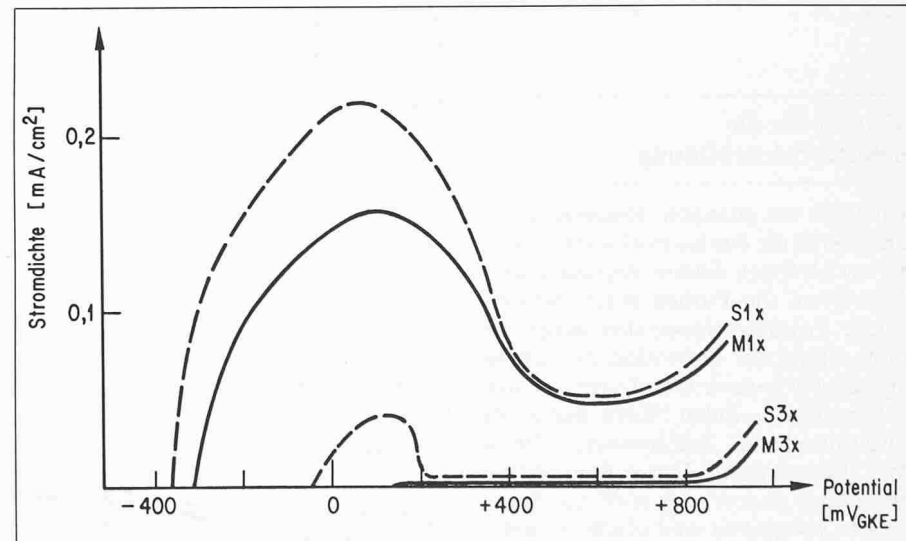


Bild 10. Anodische Stromdichte-Potentialkurven nach 20 Min. Immersion in 0,1 M  $\text{Na}_2\text{SO}_4$ -Lösung, Potentialvorschub: 15 mV/Min.

nen, muss im Rost der bewitterten Proben ein leicht reduzierbares Oxidationsmittel vorhanden sein, welches das Potential des Systems im Passivbereich hält und eine elektrochemische Passi-

phase überzogen. Bei diesen Unregelmässigkeiten auf der Rostoberfläche muss es sich um die aktiven, korrodierenden Stellen handeln. Im Falle gut bewitterter Stähle bedeckt die kompak-

te Deckschicht grössere Flächenbereiche. Das Oxidationsmittel reicht deshalb länger aus, um die geringen aktiven Flächenanteile zu passivieren. Dies erklärt auch, weshalb das Potential bei den Proben 1x viel schneller zu tieferen Werten abfällt. Die aktive Fläche ist hier grösser als bei den nach 3x bewitterten Proben, und das Oxidationsmittel reicht nur für eine kurze Zeit aus, um das Potential im Passivbereich zu halten.

Die reduzierten Bestandteile des Rostes

wohl bei legierten als auch bei unlegierten Stählen abspielen. Die Legierungselemente fördern aber das Ausfällen von basischen Sulfaten, so dass auch bei ungünstigen Bewitterungsbedingungen die Bildung von Deckschichten erleichtert wird [7].

Bild 11 zeigt diese Verhältnisse schematisch. Die aktive Fläche ist im Verhältnis zu den mit Deckschichten passivierten Flächen klein, so dass sie in den Nassperioden durch elektrochemische Passivität geschützt wird.

verbundenen, aktiv korrodierenden Oberflächenbereiche sind relativ gross und deshalb nicht mehr oder nur noch während sehr kurzer Zeit durch elektrochemische Passivierung geschützt. Durch Rissbildung und Treibwirkung neu entstandener Korrosionsprodukte können diese Rostpusteln abgesprengt werden. Die Folge davon ist eine gegenüber der günstigen Bewitterung stärkere Korrosion, die nicht zum Stillstand kommen wird.

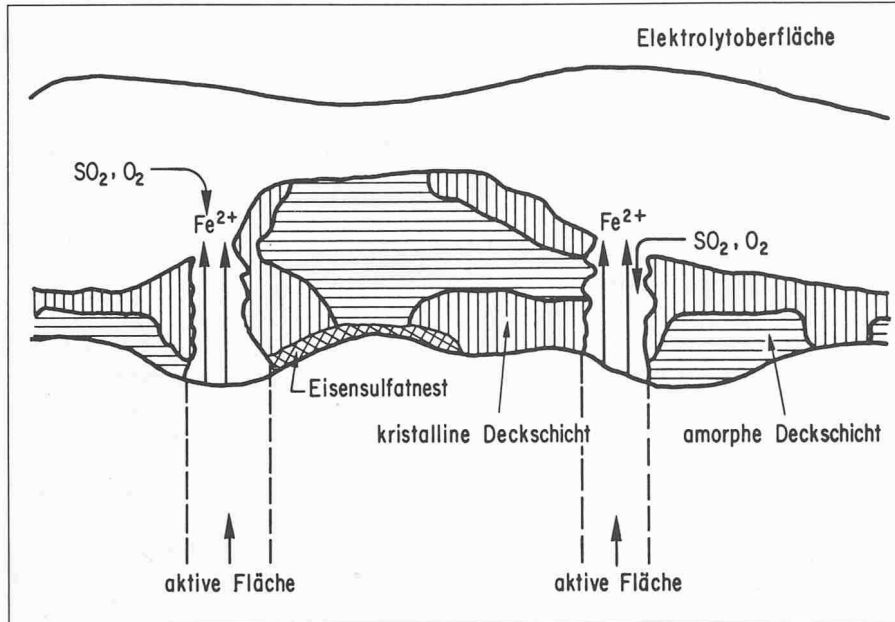


Bild 11. Schematische Darstellung der Rostschicht eines gut bewitterten wetterfesten Stahles

werden in den Trocknungsphasen durch den Luftsauerstoff jeweils wieder aufoxidiert, so dass bei erneutem Ein-tauchen die Proben eine Zeitlang passiv sind.

## Modell für die Schutzschichtbildung

Mit Hilfe der gezeigten Resultate kann ein Modell für das Korrosionsverhalten der wetterfesten Stähle abgeleitet werden. Wenn die Proben einem wiederholten Trocken/Nasszyklus ausgesetzt sind, erfolgt die Korrosion gleichmässig auf der ganzen Oberfläche. In den kurzen Nassperioden bilden sich keine ausgesprochene Sulfatnester. Durch Ausfällen von unlöslichen Korrosionsprodukten und Altern wird die Rostschicht kompakter und bildet teilweise eine Deckschicht, die als Diffusionsbarriere die Metalloberfläche schützen kann. Mit der Zeit ist der vom Rost aufrechterhaltene Reduktionsstrom gross genug, um die aktiven Korrosionsstellen während der Nassperioden zu passivieren. An diesen Stellen ist dadurch das Wachstum grosser Rostpusteln gehemmt. Dieser Vorgang kann sich so-

wie sich lang anhaltende Nassperioden auf das Korrosionsverhalten der beschriebenen Stähle auswirkt, ist in Bild 12 dargestellt. Liegt die Probe längere Zeit im nassen Zustand vor, so können durch die anionensammelnde Wirkung der Eisenauflösung grosse Sulfatnester entstehen [8]. Die damit

## Folgerungen für die Praxis

Die Resultate dieser Untersuchung zeigen deutlich den *starken Einfluss der Bewitterung*. Es muss darauf geachtet werden, dass die verwendeten niedriglegierten Baustähle *nie längere Zeit nass* sind. Je schneller die Proben nach der Bewitterung wieder trocknen, desto besser ist das Langzeitverhalten dieser Stähle. Häufige kurze Nassperioden, gefolgt von Trockenphasen, beeinträchtigen hingegen die Lebensdauer der Stähle nicht, sondern führen zu einer immer besser schützenden Deckschicht.

Bei optimaler Bewitterung ist der Einfluss der Legierungselemente gering. Die vorteilhafte Wirkung der Legierungselemente kommt jedoch nur bei ungünstiger Bewitterung zur Geltung. Kleine Unterschiede in der Analyse der Stähle haben hingegen keinen wesentlichen Einfluss, wichtig ist nur, dass die Elemente Kupfer, Chrom und Phosphor in einer minimalen Konzentration vorhanden sind. Werden diese Baustähle unter ständig nassen Bedingungen verwendet, so bringen die Legierungselemente keinen Vorteil. Sowohl der unlegierte wie auch der niedriglegierte, wetterfeste Baustahl werden bald vollständig wegkorrodiert sein.

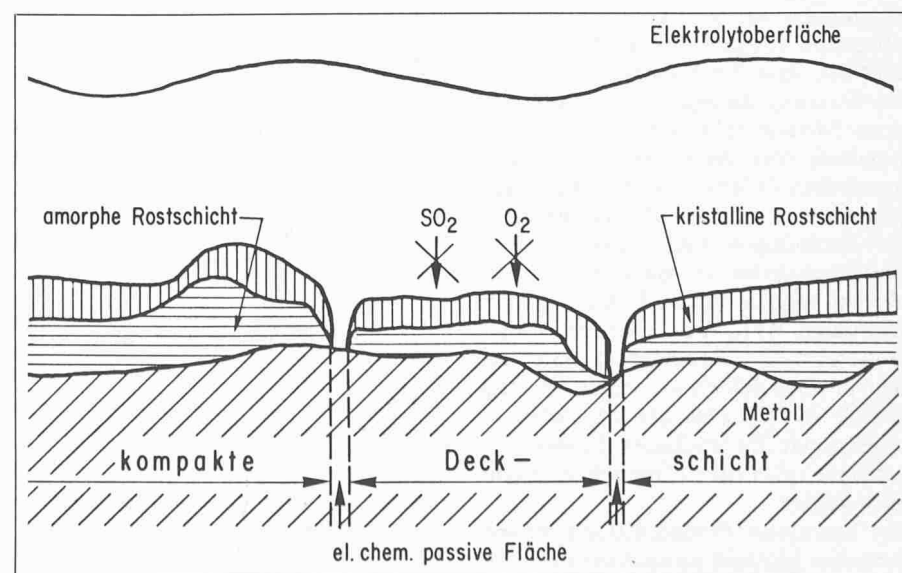


Bild 12. Schematische Darstellung der Rostschicht eines schlecht bewitterten wetterfesten Stahles

## Literaturverzeichnis

- [1] Eisenstecken F., Stinnes W.; Archiv Eisenhüttenwesen 27 (1956), 469-474
- [2] Friehe W., Tenhoven U.; Stahl und Eisen 92 (1972), 277-279
- [3] Vedenkin S. G., Protection of Metals 11 (1975), 259-270
- [4] Larrabee C. P., Coburn S. K.; 1st International Congress on Metallic Corrosion, London (1962), 276-285
- [5] Edwards A. M.; Proc. Symposium on Developments in Methods of Prevention and Control of Corrosion in Buildings, British Iron and Steel Federation, London (1966)
- [6] Misawa T., Asami K., Hashimoto K., Shimodeira S.; Corrosion Science 14 (1974), 279-289
- [7] Kunz E.; Neue Hütte 19 (1974), 295-303
- [8] Schwarz H.; Werkstoffe und Korrosion 16 (1965), 93-103

Adresse der Verfasser: Prof. Dr. H. Böhni, dipl. Werkstoff-Ing., H. Schwitter, Institut für Baustoffe, Werkstoffchemie und Korrosion, ETH-Hönggerberg, 8093 Zürich

## Wetterfeste Baustähle

## Praktische Anwendung im Hochbau

Von Franz Theiler und Roland Geiser, Dübendorf

**In einer Zusammenstellung der wichtigsten Hinweise zur korrekten Anwendung von witterfestem Baustahl wird der heutige Stand des Wissens für den Praktiker vorgestellt. Besonders häufige Fehlerquellen werden anhand von typischen Schadenfällen in Wort und Bild dokumentiert. Zum Schluss wird eine Checkliste präsentiert, die es erlaubt, Korrosionsschäden an Neubauten und bestehenden Bauten aus witterfestem Baustahl in Zukunft zu vermeiden.**

Mit der Einführung von witterfestem Baustahl im *Hochbau* wurde den *Architekten* ein Material in die Hand gegeben, das *auf den ersten Blick bestechende Vorteile* aufwies. Endlich fielen kostspielige Korrosionsschutzarbeiten wie Sandstrahlen, Streichen, Verzinken und periodischer Unterhalt dahin. Endlich war ein Werkstoff aus Stahl geschaffen worden, der in seiner Unempfindlichkeit gegenüber der atmosphärischen Bewitterung dem Beton gleichkam. Entsprechend freudig wurden erste erfolgversprechende Berichterstattungen aus dem Ausland zur Kenntnis genommen, und alsbald, d. h. Ende der sechziger, Anfang der siebziger Jahre, setzte auch in der Schweiz eine rege Bautätigkeit mit dem neuen Werkstoff ein.

Ganz so neu war dieser Werkstoff aber nicht, wenigstens nicht in den *USA*. Dort konnte man auf dem Gebiete des *Schienen- und Strassenfahrzeugbaus* bereits auf jahrzehntelange gute Erfahrungen zurückblicken. Zudem wirkten die ersten Bauten in witterfestem Baustahl auf die meisten Betrachter irgendwie attraktiv – zumindest auf eine gewisse Distanz betrachtet (vgl. Tabelle 1). Wen wundert's, dass der neue Werkstoff unter diesen Umständen *mit Vorschlüssebeeren* geradezu überhäuft wurde und dass die Stahlhersteller die Gunst der Stunde nutzten und durch farbige, sehr optimistisch gehaltene Prospekte und Broschüren versuchten, den witterfesten Baustahl bei den Architekten noch beliebter zu machen. Schlagworte, wie «Edelrost», «Patina» und die Devise «Rost schützt vor Rost», trugen das ihrige dazu bei, jede etwa noch vorhandene Skepsis gegenüber dem im Hochbau noch unerprob-

ten Baustoff abzutragen. Und ab Anfang der siebziger Jahre folgten sich die neuen Gebäude in witterfestem Baustahl Schlag auf Schlag.

Allein, es dauerte nicht sehr lange, bis dem anfänglichen Enthusiasmus eine kräftige Ernüchterung folgte. Man kam nämlich dahinter, dass das neue Material die hochgesteckten Erwartungen in den meisten Fällen nicht erfüllen konnte. Wie immer bei solchen Gelegenheiten, schlug das Pendel nun auf die entgegengesetzte Seite aus. Hatte man vorher den neuen Baustoff praktisch bedenkenlos übernommen, so holte man jetzt gnadenlos nach, was man vorher an Kritik versäumt hatte. Und wenn z. B. der «Spiegel» in einem Artikel mit Bezug auf den schadhaften Dahlemer

gen aber typische Stellungnahme zum Problem der Bauschäden an witterfestem Baustahl in der heutigen Zeit. Ein volliger Verzicht auf die Verwendung von witterfestem Baustahl hiesse jedoch auch, auf seine unbestreitbaren Vorteile zu verzichten. Die Kunst der korrekten Anwendung des neuen Baustoffes besteht aber darin, bei bestmöglichlicher Ausnützung seiner Vorteile, die damit verknüpften Nachteile vorauszusehen und so weit als möglich zu vermeiden. Dieser Artikel soll nun dem Praktiker die wichtigsten Informationen zur korrekten Anwendung des witterfesten Baustahls vermitteln, die häufigsten Fehlerquellen aufdecken und Wege zu ihrer Vermeidung angeben.

## Informationen über die korrekte Anwendung für den Praktiker

Dem Korrosionsspezialisten sind die günstigen und weniger günstigen Eigenschaften von witterfestem Baustahl seit mindestens zwanzig Jahren bekannt. Publikationen über das Korrosionsverhalten während langjähriger Bewitterungsversuche lassen sich ohne Schwierigkeiten in den einschlägigen Fachzeitschriften finden. Dem Praktiker bleiben solche Informationen allerdings in der Regel verschlossen. Er muss sich an Hand von Merkblättern, Verbandsmitteilungen und Firmenbroschüren orientieren, so gut es eben geht. Einige typische Vertreter darunter sind – ohne Anspruch auf Vollständigkeit zu erheben – im Literaturverzeichnis aufgeführt [2]...[8].

In diesen Publikationen werden z. T. schon sehr früh, nämlich 1969, erste brauchbare Hinweise zu den Themen Konstruktion, Deckschichtbildung, Verfärbung angrenzender Bauteile gegeben.

## Hinweise zur Konstruktion

Diese Hinweise sind sehr wichtig, gelten sie doch als Stand des Wissens für den Praktiker; sie werden daher in vollem Wortlaut und chronologisch zitiert. Dem Eingeweihten auf dem Gebiet des witterfesten Baustahls wird auffallen, dass die Angaben anfänglich sehr allgemein gehalten sind und erst im Verlauf

Tabelle 1. Beispiele für erste Bauten aus witterfestem Baustahl im In- und Ausland

## Ausland

- Verwaltungsgebäude der John Deer & Co., Moline, Ill., USA Eröffnet 1964
- Civic Center, Chicago, USA Eröffnet 1969

## Inland

- Verkehrshaus der Schweiz, Luzern Eröffnet 1970
- ETS Magglingen Eröffnet 1970
- Kantonsschule Chur Eröffnet 1970
- Verwaltungsgebäude der Ferrolegingar, Zürich Eröffnet 1970

Neubau der FU Berlin aus witterfestem Baustahl von einer «Rostlaube» und einer «bautechnischen Pleite, die fast ohne Beispiel ist», spricht und gleichzeitig ankündigt, dass «der Berliner Bau-Senat von COR-TEN-Stahl in Zukunft die Finger lässt» [1], so ist dies zwar eine reichlich pointierte, im übrigen